

УДК 536.24

## Вариационно-структурный метод моделирования конвективного теплообмена при ламинарном течении в трубах неканонического сечения

Д. А. Котульский

*Институт проблем машиностроения им. А. Н. Подгорного НАН Украины*

В статье излагаются результаты по совместному применению метода Ритца, структурного метода и интерполяционных полиномов Ньютона к решению краевых задач гидродинамики и конвективного теплообмена для труб сложного поперечного сечения. Определена функциональная зависимость числа Нуссельта от геометрического параметра  $\beta$  двойной трубы квадратного сечения.

**Ключевые слова:** конвективный теплообмен, ламинарное течение, вариационно-структурный метод.

У статті викладаються результати, які отримані при спільному застосуванні методу Ритца, структурного методу та інтерполяційних поліномів Ньютона щодо вирішення крайових завдань гідродинаміки й конвективного теплообміну для труб складного поперечного перерізу. Визначено функціональну залежність числа Нуссельта від геометричного параметра  $\beta$  подвійної труби квадратного перерізу.

**Ключові слова:** конвективний теплообмін, ламінарна течія, варіаційно-структурний метод.

In the article the results, which were obtained by means of combined using of Ritz method, structural method and interpolational Newton polynomials for solving boundary-value problems of hydrodynamics and convective heat transfer for pipes with the complicated cross-section, are given. The functional dependence of Nusselt number from the geometrical parameter  $\beta$  of a double pipe with the square cross-section, was determined.

**Key words:** convective heat transfer, laminar flow, variation-structural method.

### Общая постановка задачи

В постановке задач теплообмена при ламинарном течении жидкости в трубах и каналах, как и в работах [1, 2], принимаем следующие допущения:

- течение жидкости и процесс теплообмена стационарны;
- имеется предвключенный участок гидродинамической стабилизации, на котором ламинарное течение жидкости стабилизируется;
- во входной части канала  $z \leq 0$  температура жидкости одинакова по сечению и равна  $T_0$ ;
- жидкость несжимаема, физические свойства жидкости постоянны;
- в активной зоне канала  $z \leq 0$  теплоноситель имеет внутренние источники тепла, локальная мощность которых равна  $q(x, y, z)$ ;
- теплопроводность среды в направлении течения жидкости мала по сравнению с более значительным переносом тепла конвекцией.

По данным работы [1] для газов и неметаллических жидкостей последнее допущение всегда выполняется, но оно может не выполняться для жидких

металлов. Тогда, согласно [1, 2], расчет температурного поля в трубе или канале сводится к решению уравнения

$$w_z(x, y) \frac{\partial T}{\partial z} = a \left( \frac{\partial^2 T}{\partial x^2} + \frac{\partial^2 T}{\partial y^2} \right) + \frac{q(x, y, z)}{c\gamma} \quad (1)$$

при

$$T(x, y, z)|_{z \leq 0} = T_0 \quad (2)$$

и определенных граничных условиях на поверхности трубы или канала.

Здесь функция  $w_z(x, y)$  определяет поле скоростей в потоке жидкости. Для уравнения (1) рассмотрим следующие граничные условия:

$$L_k T(x, y, z)|_{S_k} = f(z) \varphi_k(x, y), \quad (3)$$

где  $L_k$  – дифференциальные операторы заданного порядка по переменным  $x, y$ ;  
 $\varphi_k(x, y)$  – заданные функции;

$S = \bigcup_{k=1}^m S_k$  – боковая поверхность трубы или канала.

Краевые условия (3) в частных случаях могут иметь одну из форм

$$T|_{S_k} = f(z) \varphi_k(x, y), \quad \left. \frac{\partial T}{\partial \nu} \right|_{S_k} = \beta(z) \psi_k(x, y),$$

а в некоторых случаях возможно их сочетание с условиями третьего рода на различных участках поверхности  $S$ .

Рассмотрим случай развитого ламинарного течения и теплопередачи в двойной трубе квадратного сечения (рис. 1). Рассмотрим область тепловой стабилизации ( $\frac{\partial T}{\partial z} = const$ ).

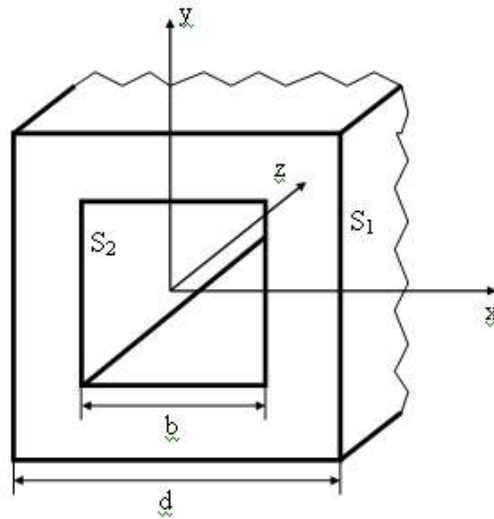


Рис. 1 – Двойная труба квадратного сечения

Для функций

$$w_z^* = -\frac{w_z}{d^2 \frac{\partial P}{\partial z}}, \quad T^* = -\frac{T - T_2}{a\mu \frac{\partial P}{\partial z} \frac{\partial T}{\partial z}}$$

в безразмерных координатах  $x_1 = xd^{-1}$ ,  $y_1 = yd^{-1}$  задачи для функций  $T^*$  и  $w_z^*$  приводятся к виду

$$\frac{\partial^2 T^*}{\partial x_1^2} + \frac{\partial^2 T^*}{\partial y_1^2} = w_z^*, \quad (4)$$

$$T^*|_{\Gamma_1} = u_1^*, \quad T^*|_{\Gamma_2} = 0, \quad (5)$$

$$\frac{\partial^2 w_z^*}{\partial x_1^2} + \frac{\partial^2 w_z^*}{\partial y_1^2} = -1, \quad (6)$$

$$w_z^*|_{\Gamma_1 \cup \Gamma_2} = 0. \quad (7)$$

### Структурная схема решения

Если  $T_i = B(\Phi_i)$  есть структуры решения, точно учитывающие краевые условия первого, второго или третьего рода на различных участках  $S_i$  ( $i = 1, 2, \dots, m$ ) поверхности  $S$  трубы сложного сечения, то структуру решения задачи (1)-(3) точно удовлетворяющую всем заданным граничным условиям построим в виде [3, 4]

$$T = \left( \sum_{i=1}^m B_i(\Phi_i) \omega_i^{-2} \right) \left( \sum_{i=1}^m \omega_i^{-2} \right)^{-1}. \quad (8)$$

Заметим, что неопределенные функции  $\Phi_i$ , входящие в структуру решения (8), можно представить различными полиномами и относить их к различным системам координат. Это открывает дополнительные возможности с точки зрения повышения эффективности аппроксимации искомого решения задачи.

Решения краевых задач (4)-(7) представим в виде

$$w_z^* = \sum_{i+j=0}^n B_{ij} \omega \varphi_{ij},$$

$$T^* = \frac{\omega_2 T_1^*}{\omega_1 + \omega_2} + \sum_{i+j=0}^n C_{ij} \omega \varphi_{ij}, \quad (9)$$

где  $\varphi_{ij} = P_{2i}(2x_1)P_{2j}(2y_1)[P_{2i}(2x_1) + P_{2i}(2y_1)]$ ;

$$\omega_1 = (x_1^2 - 0.25)(y_1^2 - 0.25), \quad \omega = \omega_1 \cdot \omega_2;$$

$$\omega_2 = \left( x_1^2 - \frac{\beta^2}{4} \right) + \left( y_1^2 - \frac{\beta^2}{4} \right) + \sqrt{\left( x_1^2 - \frac{\beta^2}{4} \right)^2 + \left( y_1^2 - \frac{\beta^2}{4} \right)^2};$$

$P_s(t)$  – полиномы Чебышева.

Коэффициенты  $B_{ij}$  определяются из системы уравнений

$$\sum_{\substack{i+j=0 \\ i,j>0}}^n B_{ij} \int_{\Omega} \left[ \frac{\partial X_{ij}}{\partial x_1} \frac{\partial X_{ks}}{\partial x_1} + \frac{\partial X_{ij}}{\partial y_1} \frac{\partial X_{ks}}{\partial y_1} \right] dx_1 dy_1 = \int_{\Omega} X_{ks} dx_1 dy_1,$$

а  $C_{ij}$  из системы вида

$$\sum_{i+j=0}^n C_{ij} \int_{\Omega} \left[ \frac{\partial X_{ij}}{\partial x_1} \frac{\partial X_{ks}}{\partial x_1} + \frac{\partial X_{ij}}{\partial y_1} \frac{\partial X_{ks}}{\partial y_1} \right] dx dy = \int_{\Omega} \left[ \frac{\partial \Phi_0}{\partial x_1} \frac{\partial X_{ks}}{\partial x_1} + \frac{\partial \Phi_0}{\partial y_1} \frac{\partial X_{ks}}{\partial y_1} \right] dx dy,$$

где  $\Phi_0 = \omega_2 u_1^* (\omega_1 + \omega_2)^{-1}$ .

Число Нуссельта рассчитывается по формуле

$$\overline{Nu} = (1 - \beta^2) \int_{\Omega} w_z^* d\Omega \left[ \int_{\Omega} u^* d\Omega \right]^{-1}.$$

### Определение параметрической зависимости числа Нуссельта от параметра $\beta$ в вычислительном эксперименте

Чтобы определить параметрическую зависимость числа Нуссельта от параметра  $\beta$ , определим параметрическую зависимость коэффициентов  $C_{ij}$  структуры решения (9) от  $\beta$  с помощью интерполяционных формул Ньютона.

$$C_{ij}(\beta) = C_{ij}^{(0)} + g C_{ij}^{(1)} + \frac{g(g-1)}{2!} \Delta^2 C_{ij}^{(0)} + \frac{g(g-1)(g-2)}{3!} \Delta^3 C_{ij}^{(0)} + \frac{g(g-1)(g-2)(g-3)}{4!} \Delta^4 C_{ij}^{(0)} + \frac{g(g-1)(g-2)(g-3)(g-4)}{5!} \Delta^5 C_{ij}^{(0)}, \quad (10)$$

$$C_{ij}(\beta) = C_{ij}^{(5)} + g C_{ij}^{(4)} + \frac{g(g+1)}{2!} \Delta^2 C_{ij}^{(3)} + \frac{g(g+1)(g+2)}{3!} \Delta^3 C_{ij}^{(2)} + \frac{g(g+1)(g+2)(g+3)}{4!} \Delta^4 C_{ij}^{(1)} + \frac{g(g+1)(g+2)(g+3)(g+4)}{5!} \Delta^5 C_{ij}^{(0)}, \quad (11)$$

Первая формула (10) используется для  $\beta$  меньших среднего значения ( $\beta_{cp} = (0.25 + 0.5) \cdot 0.5 = 0.375$ ) принятого диапазона ( $\beta_0 = 0.25 \dots 0.5$ ),

$g = \frac{\beta - \beta_0}{h}$  ( $\beta_0 = 0.25$ ),  $h = 0.05$ . Вторая формула (11) используется для

$\beta \geq 0.375$ ,  $g = \frac{\beta - \beta_5}{h}$  ( $\beta_5 = 0.5$ ) [3].

На рис.2 приведена зависимость числа Нуссельта от параметра  $\beta$  (сплошная линия – вычислительный эксперимент, квадратики – результаты по данным работы [5]).

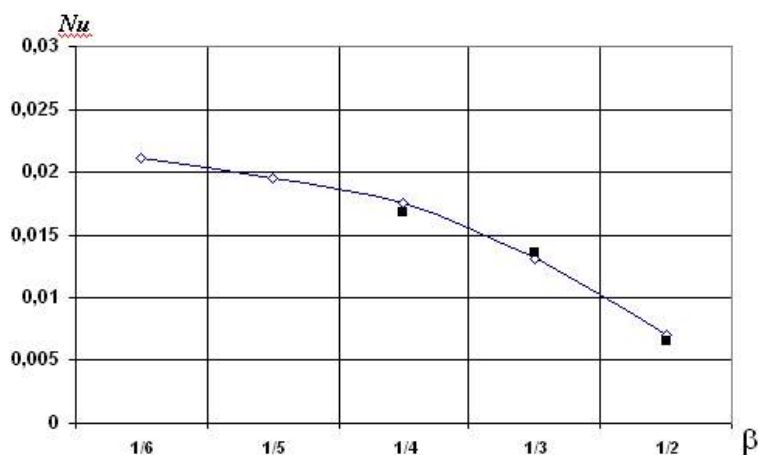


Рис. 2 – Графік залежності числа Нуссельта від параметра  $\beta$

### Выводы

Предложенный аналитический подход к математическому моделированию конвективного теплообмена для труб сложного поперечного сечения и подход к определению параметрической зависимости числа Нуссельта от геометрического параметра  $\beta$  поперечного сечения трубы дают новые качественные возможности исследования конвективного теплообмена при проектировании теплообменных систем по конструктивным элементам «труба в трубе», что позволяет впервые на базе параметрической зависимости числа Нуссельта от  $\beta$  определять оптимальное значение  $\beta$  с целью получения приемлемого числа Нуссельта

### ЛИТЕРАТУРА

1. Петухов Б.С. Теплообмен и сопротивление при ламинарном течении жидкости в трубах. – М.: Энергия, 1967. – 412 с.
2. Петухов Б.С. Теплообмен в ядерных энергетических установках /Б.С. Петухов, Л. Г. Генин, С. А. Ковалев. – М.: Атомиздат, 1974. – 367 с.
3. Слесаренко А.П. R-функции и вариационные методы в моделировании конвективного теплообмена при ламинарном течении жидкости в трубах неканонического поперечного сечения / А. П. Слесаренко, Д. А. Котульский // Проблемы машиностроения. – 2001.– Т. 4, №3-4.– С. 72 – 79.
4. Слесаренко А.П. Регионально-аналитический и проекционно-разностный методы в математическом моделировании, оптимизации и управлении процессами теплопередачи // Теплообмен-ММФ-92: Докл. II Минского междунар. форума (Беларусь, Минск, май 1992). – Минск: ИТМО АН Беларуси, 1992. – Т.9. – С. 154-157.
5. Патанкар С. Численные методы решения задач теплообмена и динамики жидкости. – М.: Энергоатомиздат, 1984. – 150 с.

Надійшла 12.03.2010.

© Д. А. Котульский, 2010